

Filtres classiques : Le laplacien

Détection de bords

- Masque pour le Laplacien
 - $f''(X) = f(X+1) - 2 * f(X) + f(X-1)$

-1	2	-1
----	---	----

Filtres classiques : Le laplacien

Détection de bords

- Masque pour le Laplacien

0	-1	0
-1	4	-1
0	-1	0

Filtres classiques : Le laplacien

Détection de bords

- Un point de contour est un passage à zéro de la dérivée seconde
- Les contours sont repérés par un changement de signe

	A	
B	E	D
	C	

On va plutôt chercher un changement de signe (de forte amplitude)

Si $E > 0$ il faut un des A, B, C, ou D < 0 et inversement si $E < 0$

Filtres classiques : Le laplacien

Détection de bords

- Le calcul des dérivées est approché au moyen de filtres
 - Simple et rapide
 - Inconvénients : approximation, sensibilité au bruit, en particulier le Laplacien → Nécessite de lisser le signal avant ou lors de la dérivation
- Impact du lissage
 - Robustesse au bruit
 - Délocalisation des points de contour
- Le Laplacien est sensible au bruit → sur-segmentation

Filtres classiques

Détection de bords

- Évaluation de la qualité de la détection de contours :
 - Bonne détection
 - Bonne localisation
 - Réponse unique
 - Cf filtre de Canny/Deriche

Filtres classiques

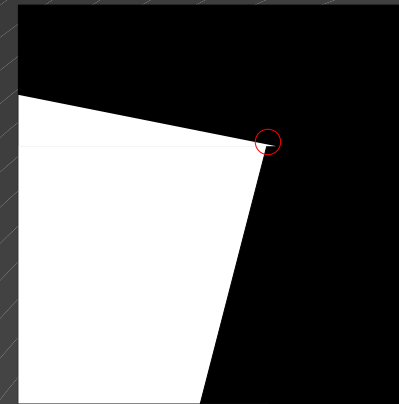
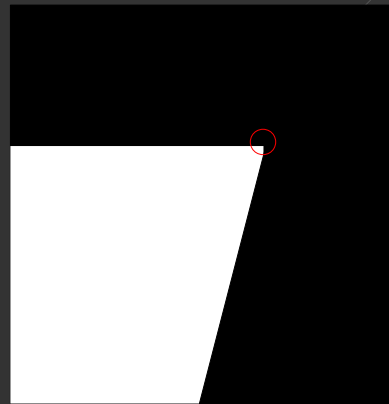
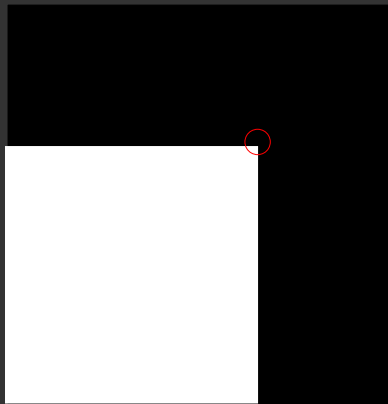
Détection de points d'intérêts

- Détection de coins
 - Comment se caractérise un coin ?
 - Comment trouver les coins ?
 - Pourquoi trouver les coins?

Filtres classiques

Détection de points d'intérêts

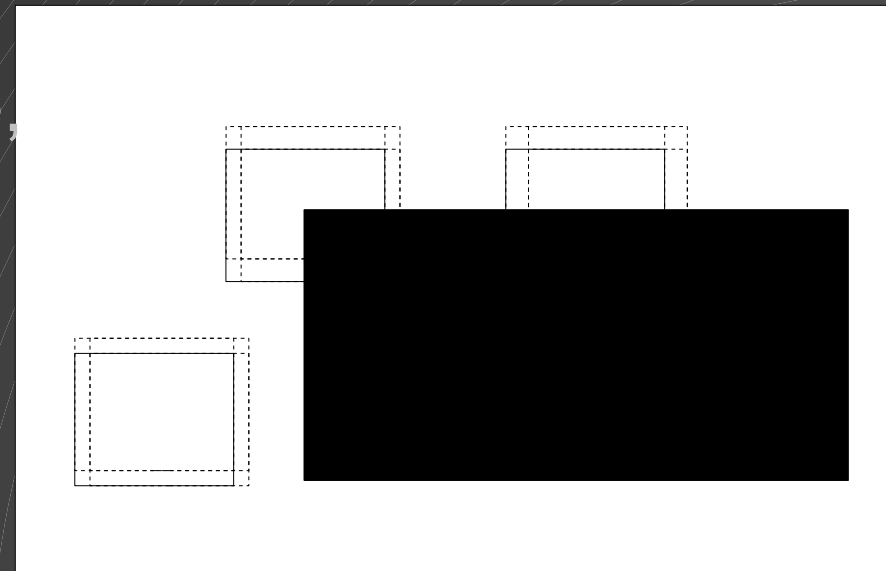
- Détection de coins
 - Coin = gradient fort dans deux directions



Filtres classiques : Moravec

Détection de points d'intérêts

- Pour chaque point
 - On fait la somme S des différences des intensités entre un voisinage centré sur le point et le voisinage décalé.
 - On réitère le calcul avec des décalages dans toutes les directions
 - Pour chaque point, on garde, parmi tous les décalages i le résultat de S_i qui a donné la plus faible valeur



Filtres classiques : Moravec

Détection de points d'intérêts

- Moravec
 - Calcul d'un critère sur toute l'image

$$c_{d_x, d_y}(x, y) = \sum_{i=-s \dots +s} \sum_{j=-s \dots +s} (I(x+i, y+j) - I(x+i+d_x, y+j+d_y))^2$$

- On calcul un critère pour chaque point

$$c(x, y) = \min_{d_x, d_y} (c_{d_x, d_y}(x, y))$$

- Un coin est un maximum local de $c(x, y)$

Filtres classiques : Moravec

Détection de points d'intérêts

- Moravec
 - Sensible au bruit (des petites imperfections peuvent être prises pour des coins)
 - Contours de certaines directions peuvent être pris pour des coins (anisotrope car on considère que quelques directions)

Filtres classiques : Harris

Détection de points d'intérêts

- Révision du critère pour être plus robuste

$$c_{d_x, d_y}(x, y) = \sum_{i=-s \dots +s} \sum_{j=-s \dots +s} w(i, j) (I(x+i, y+j) - I(x+i+d_x, y+j+d_y))^2$$

$$I(x+d_x, y+d_y) \approx I(x, y) + d_x \left(\frac{\partial I(x, y)}{\partial x} \right) + d_y \left(\frac{\partial I(x, y)}{\partial y} \right) + \dots$$

$$c_{d_x, d_y}(x, y) = \sum_{i=-s \dots +s} \sum_{j=-s \dots +s} w(i, j) \left(d_x \left(\frac{\partial I(x+i, y+j)}{\partial x} \right) + d_y \left(\frac{\partial I(x+i, y+j)}{\partial y} \right) \right)^2$$

Filtres classiques : Harris

Détection de points d'intérêts

- Critère :

$$c_{d_x, d_y}(x, y) = \sum_{i=-s \dots +s} \sum_{j=-s \dots +s} w(i, j) \left(d_x \left(\frac{\partial I(x+i, y+j)}{\partial x} \right) + d_y \left(\frac{\partial I(x+i, y+j)}{\partial y} \right) \right)^2$$

$$\left(d_x \left(\frac{\partial I(x+i, y+j)}{\partial x} \right) + d_y \left(\frac{\partial I(x+i, y+j)}{\partial y} \right) \right)^2 = (d_x \ d_y) \begin{pmatrix} \left(\frac{\partial I}{\partial x} \right)^2 & \left(\frac{\partial I}{\partial x \partial y} \right) \\ \left(\frac{\partial I}{\partial x \partial y} \right) & \left(\frac{\partial I}{\partial y} \right)^2 \end{pmatrix} \begin{pmatrix} d_x \\ d_y \end{pmatrix}$$

- Ce qui donne :

$$A d_x^2 + 2C d_x d_y + B d_y^2$$

$$M = \begin{pmatrix} A & C \\ C & B \end{pmatrix} = \begin{pmatrix} \left(\frac{\partial I}{\partial x} \right)^2 & \left(\frac{\partial I}{\partial x \partial y} \right) \\ \left(\frac{\partial I}{\partial x \partial y} \right) & \left(\frac{\partial I}{\partial y} \right)^2 \end{pmatrix}$$

- Avec w une gaussienne

Filtres classiques : Harris

Détection de points d'intérêts

- Nouveau critère H

$$M = \begin{pmatrix} A & C \\ C & B \end{pmatrix} = \begin{pmatrix} \left(\frac{\partial I}{\partial x} \right)^2 & \left(\frac{\partial I}{\partial x \partial y} \right) \\ \left(\frac{\partial I}{\partial x \partial y} \right) & \left(\frac{\partial I}{\partial y} \right)^2 \end{pmatrix}$$

- $H = \det(M) - \alpha \text{trace}(M)^2$

- $\lambda_1 \lambda_2$ les deux valeurs propres

- $\det(M) = \lambda_1 \lambda_2$ et $\text{trace}(M) = \lambda_1 + \lambda_2$

- $H = \lambda_1 \lambda_2 - \alpha (\lambda_1 + \lambda_2)^2$

- $H < 0$ contour

- $H \rightarrow 0$ ras

- $H \gg 0$ coin

- α grand $\Rightarrow H$ diminue et le détecteur est moins sensible

- α petit $\Rightarrow H$ augmente et le détecteur est plus sensible

Filtres classiques : Achard, Bigorgne, Devars

Détection de points d'intérêts

- Détection basée sur le produit vectoriel
 - Près d'un coin, la norme du produit vectoriel entre deux vecteurs gradients est grande
 - Dans une zone homogène elle est faible
 - La norme des vecteurs gradients est petite
 - Sur un contour elle est faible aussi
 - L'angle formé entre deux vecteurs gradients proches est petit

Filtres classiques : Achard, Bigorgne, Devars

Détection de points d'intérêts

- Détection basée sur le produit vectoriel
 - Pour chaque point i , avec un voisinage V_i , on détermine un critère k :

$$k = \sum_{j \in V_i} \|\overrightarrow{\text{grad } P_i} \wedge \overrightarrow{\text{grad } P_j}\|^2$$

$$k = \sum_{j \in V_i} \|\overrightarrow{\text{grad } P_i}\|^2 \|\overrightarrow{\text{grad } P_j}\|^2 \sin^2(\overrightarrow{\text{grad } P_i}, \overrightarrow{\text{grad } P_j})$$

Filtres classiques : Achard, Bigorgne, Devars

Détection de points d'intérêts

- Détection basée sur le produit vectoriel
 - Pour chaque point i , avec un voisinage V_i , on détermine un critère k :

$$k = \sum_{j \in V_i} \|\overrightarrow{\text{grad } P_i}\|^2 \|\overrightarrow{\text{grad } P_j}\|^2 \sin^2(\widehat{\text{grad } P_i, \text{grad } P_j})$$

$$I_x = \left(\frac{\partial I}{\partial x} \right) \quad I_y = \left(\frac{\partial I}{\partial y} \right) \quad \|\overrightarrow{\text{grad } P}\|^2 = I_x^2 + I_y^2$$

$$\sin(\widehat{ox, \text{grad } P}) = \frac{I_y}{\sqrt{I_x^2 + I_y^2}} \quad \cos(\widehat{ox, \text{grad } P}) = \frac{I_x}{\sqrt{I_x^2 + I_y^2}}$$

$$k = I_x^2 \langle I_y^2 \rangle + I_y^2 \langle I_x^2 \rangle - 2 I_x I_y \langle I_x I_y \rangle \quad \langle I \rangle = I * \begin{pmatrix} 1 & 1 & 1 \\ 1 & 0 & 1 \\ 1 & 1 & 1 \end{pmatrix}$$

Filtres classiques

Détection de points d'intérêts - Résultats

- Quelques résultats (Harris)

Filtres classiques

Détection de points d'intérêts - Résultats

- Quelques résultats (Achard)



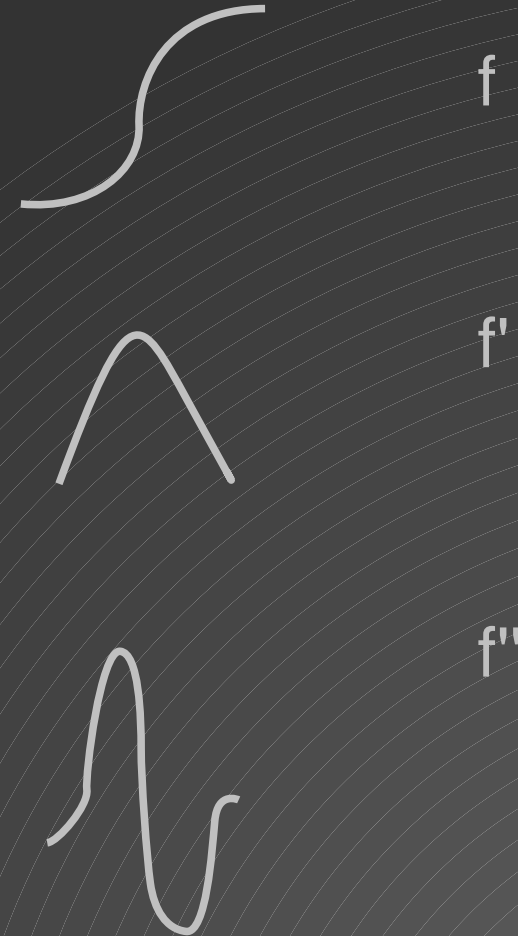
Filtres classiques

Amélioration de la netteté

Filtres classiques : Laplacien

Amélioration de la netteté

- Retour sur la dérivée seconde (Laplacien)



Filtres classiques : Laplacien

Amélioration de la netteté

- Calcul du laplacien
 - $f'(x) = f(x+1) - f(x)$
 - $f''(x) = f'(x+1) - f'(x)$
 - $f''(x) = f(x+2) - f(x+1) - f(x+1) + f(x)$
- $f''(X) = f(X+1) - 2 * f(X) + f(X-1)$

Filtres classiques : Laplacien

Amélioration de la netteté

- Masque pour le Laplacien
 - $f''(X) = f(X+1) - 2 * f(X) + f(X-1)$

-1	2	-1
----	---	----

Filtres classiques : Laplacien

Amélioration de la netteté

- Masque pour le Laplacien

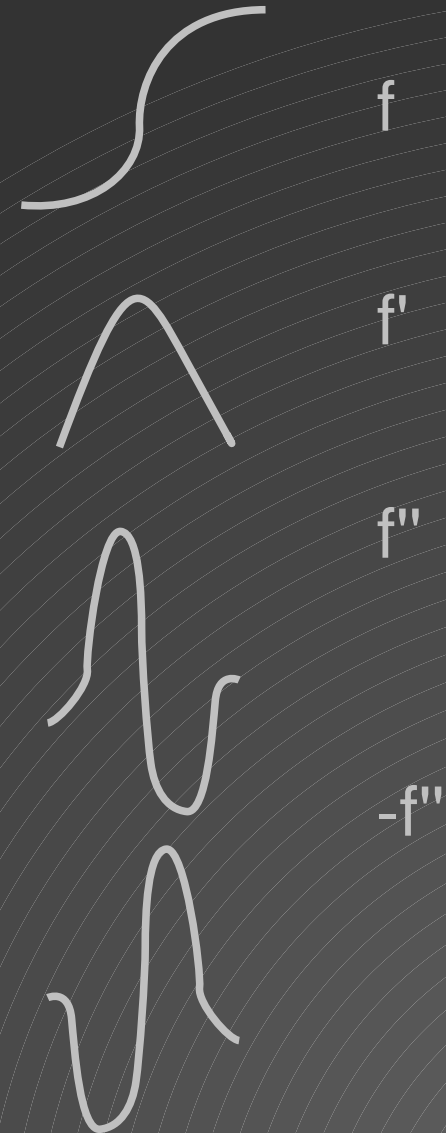
0	-1	0
-1	4	-1
0	-1	0

Filtres classiques : Laplacien

Amélioration de la netteté

- Renforcement de la netteté :

0	-1	0
-1	5	-1
0	-1	0



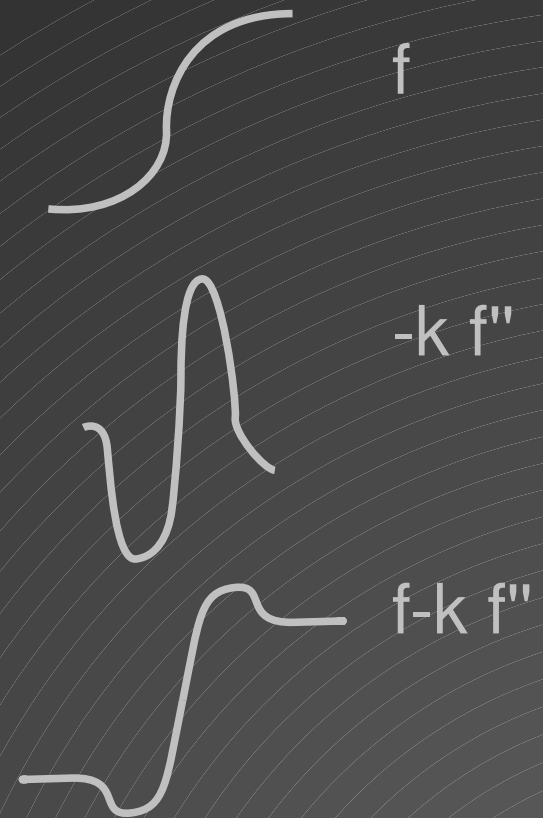
Filtres classiques : Laplacien

Amélioration de la netteté

- Masque pour le Laplacien

k

0	-1	0
-1	4	-1
0	-1	0



Filtres classiques

Amélioration de la netteté : Résultats

- Augment la netteté
- Renforce le bruit



Filtres classiques

- Détection de bord/coin
- Lissage
- Amélioration de la netteté
- ...
 - ✓ Attention : Pensez à la correction gamma.

Signal

- Signal
 - Représentation Mathématique d'un phénomène physique
- Traitement du signal
 - Élaboration, détection et interprétation des signaux
- Classification des signaux
 - Morphologique : Continu/Discret
 - Spectrale : Bande de fréquences BF/HF
 - Énergie : Énergie finie/Puissance moyenne finie
 - Typologie : déterministe/aléatoire
 - Périodicité : non périodique/ $x(t) = x(t+T)$

Signal

- Énergie

- Énergie w_x d'un signal x

$$W_x = \int_{-\infty}^{\infty} |x(t)|^2 dt$$

- Les signaux à énergie finie vérifient la condition :

$$W_x = \int_{-\infty}^{\infty} |x(t)|^2 dt < +\infty$$

- Les signaux à support borné (c-a-d de durée limitée) sont à énergie finie

Signal

- Puissance

- Puissance moyenne P du signal x

$$P_x = \lim_{T \rightarrow \infty} \frac{1}{T} \int_{-T/2}^{T/2} |x(t)|^2 dt$$

- Énergie finie \Rightarrow puissance moyenne nulle

- $W_x < \infty \Rightarrow P_x = 0$

- Puissance moyenne finie \Rightarrow énergie infinie

$$0 < P_x < \infty \Rightarrow W_x \rightarrow \infty$$

- Exemple les signaux périodiques

Signal

- Signaux classiques

- Porte

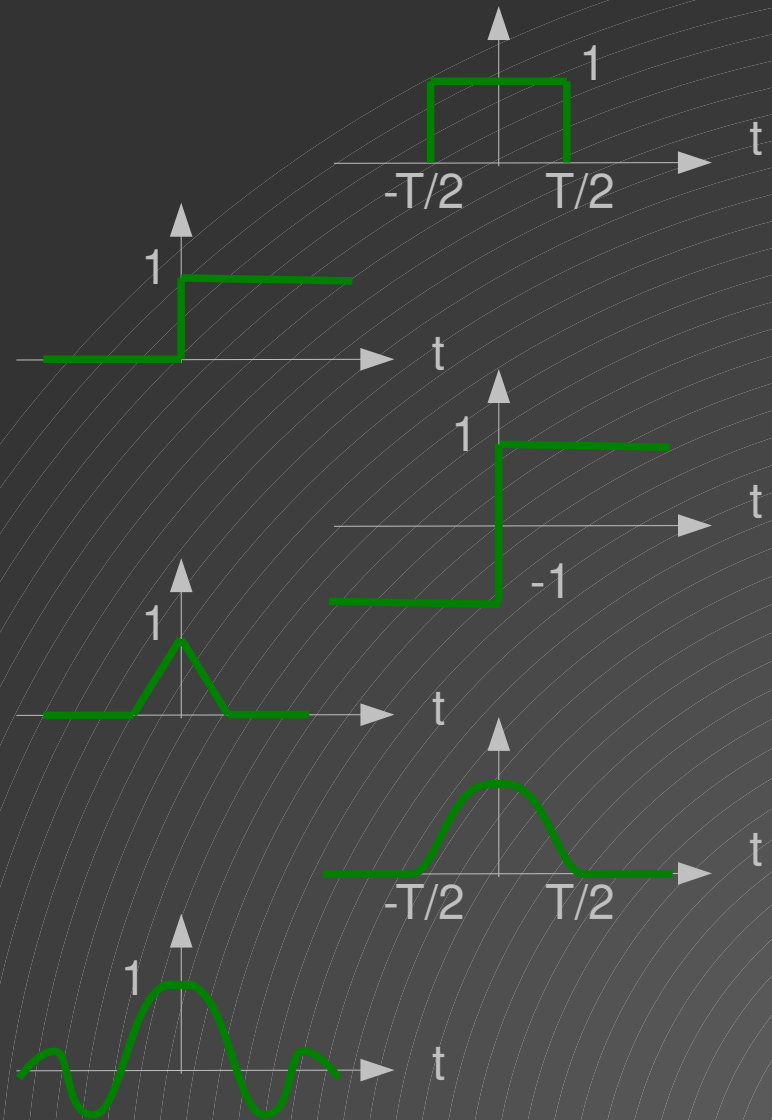
- Echelon d'Heavyside

- Signe

- Triangulaire

- Gaussienne

- Sinus cardinal



Signal

- Signaux classiques

- Porte

- $\Pi_{T/2}(t) = \begin{cases} 1 & \text{si } t \in [-T/2, T/2] \\ 0 & \text{ailleurs} \end{cases}$

- Echelon d'Heavyside

- $u(t) = \begin{cases} 0 & \text{si } t < 0 \\ 1 & \text{si } t \geq 0 \end{cases}$

- Signe

- $\text{sgn}(t) = \begin{cases} -1 & \text{si } t < 0 \\ 0 & \text{si } t = 0 \\ 1 & \text{si } t > 0 \end{cases}$

- Triangulaire

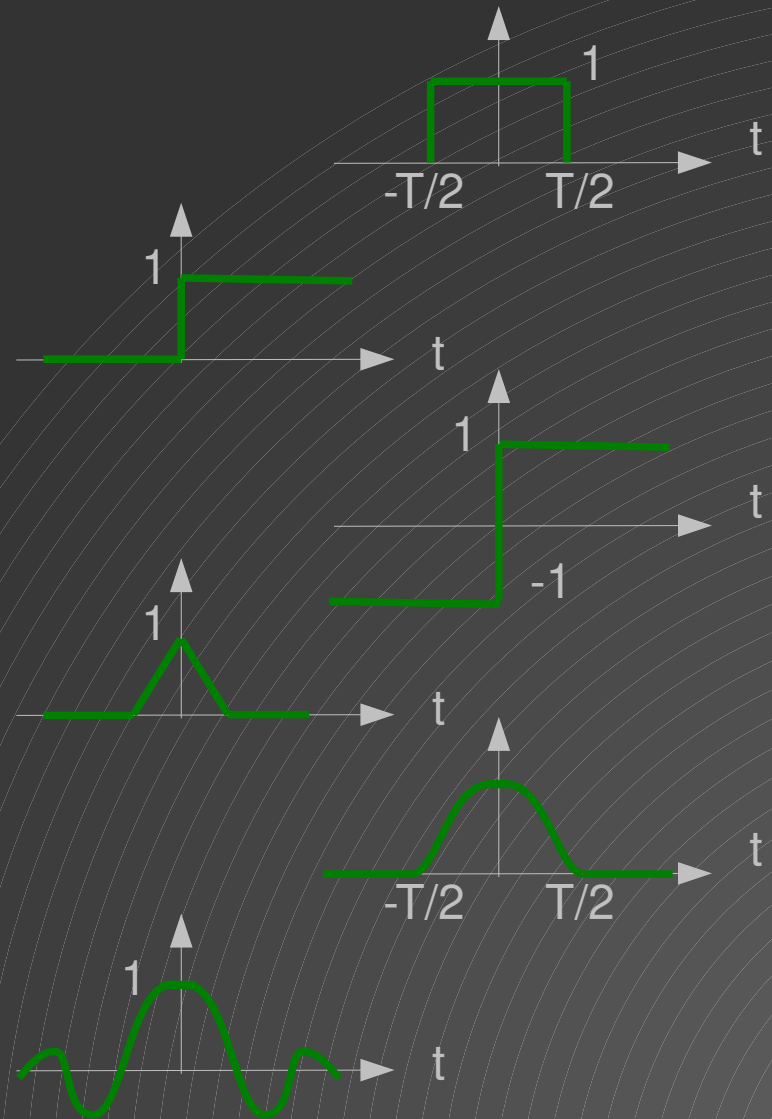
- $\Lambda_T(t) = \begin{cases} 1 - |t|/T & \text{si } |t| < T \\ 0 & \text{ailleurs} \end{cases}$

- Gaussienne

- $g(t) = \frac{1}{\sigma\sqrt{2\pi}} e^{-\frac{t^2}{2\sigma^2}}$

- Sinus cardinal

- $\text{sinc}(t) = \sin(t)/t$



Signal

Séries de Fourier

- On considère les fonctions $g_n(t)$

$$g_n(t) = e^{2j\pi\left(\frac{nt}{T}\right)}$$

- Que vaut :

$$\langle g_n(t), g_m(t) \rangle = \frac{1}{T} \int_T g_n(t) g_m^*(t) dt$$

- Soit $f(t)$ périodique de période T ($T > 0$). Un signal 1D périodique peut être vu comme une somme de sinusoides.

$$f(t) = \sum_{n=-\infty}^{\infty} C_n g_n(t)$$

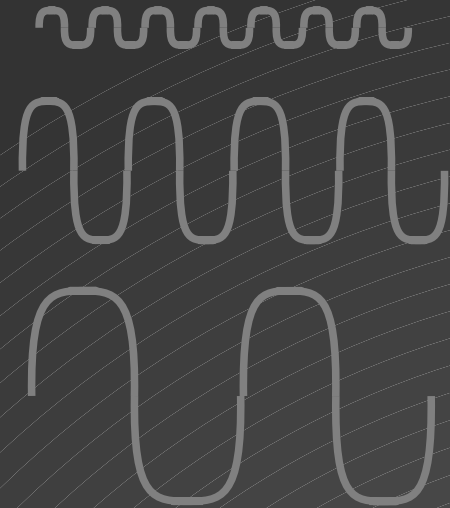
Signal

Séries de Fourier

- Harmoniques

$$f(t) = \sum_{n=-\infty}^{\infty} C_n g_n(t) \quad C_n : \text{harmoniques}$$

- C_0 : Fréquence continue
- C_1 : Fréquence fondamentale
- ...
- C_n : $n^{\text{ième}}$ harmonique
- f réel $\Rightarrow C_n = C_{-n}^*$ ($f(t) = f^*(t)$)



Signal

Séries de Fourier

- Fréquences
 - Basses fréquences
 - Lentes variations
 - Zones presque uniformes
 - Hautes fréquences
 - Variations rapides
 - Contours/coins



Signal

Séries et transformée de Fourier

- Spectre
 - D'amplitude : $|C_n|$
 - De phase $\text{Arg}(C_n) = \arctg(-b_n/a_n)$
 - De puissance $|C_n|^2$
 - $f(t)$ réel \Rightarrow spectre d'amplitude symétrique
- Relation de PARSEVAL : Il y a conservation de la puissance de la représentation temporelle à la représentation fréquentielle

Signal

Séries et transformée de Fourier

- On considère jusqu'à présent des signaux périodiques
 - On peut généraliser en prenant $T \rightarrow +\infty$

- On définit $TF\{x(t)\}$

$$X(f) = \int_{-\infty}^{+\infty} x(t) e^{-2j\pi ft} dt$$

- On définit $TF^{-1}\{x(t)\}$

$$x(t) = \int_{-\infty}^{+\infty} X(f) e^{+2j\pi ft} df$$

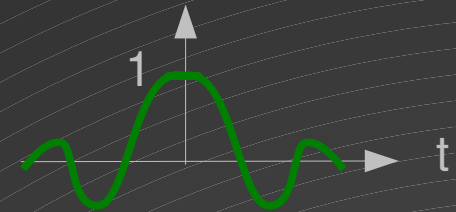
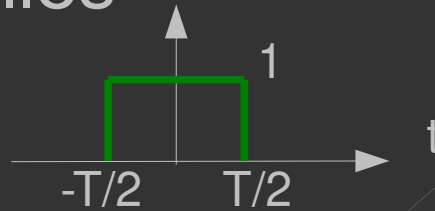
- Toutes les infos contenues dans le signal sont contenues dans le spectre

Signal

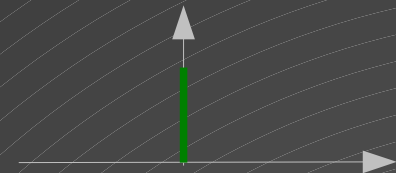
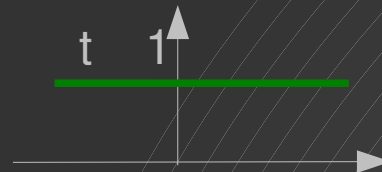
Séries et transformée de Fourier

- Transformées usuelles

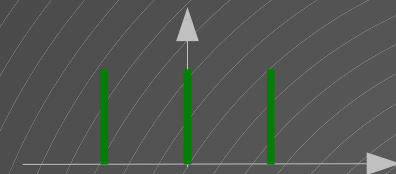
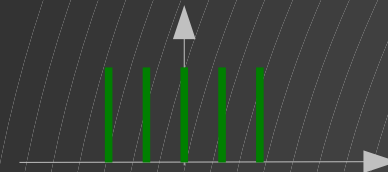
- Porte



- Constante



- Peigne de Dirac



Signal

Séries et transformée de Fourier

- Existence de la transformée de $f(t)$
 - $f(t)$ bornée
 - Intégrale de $f(t)dt$ existe
 - Les discontinuités de $f(t)$ sont en nombre limité

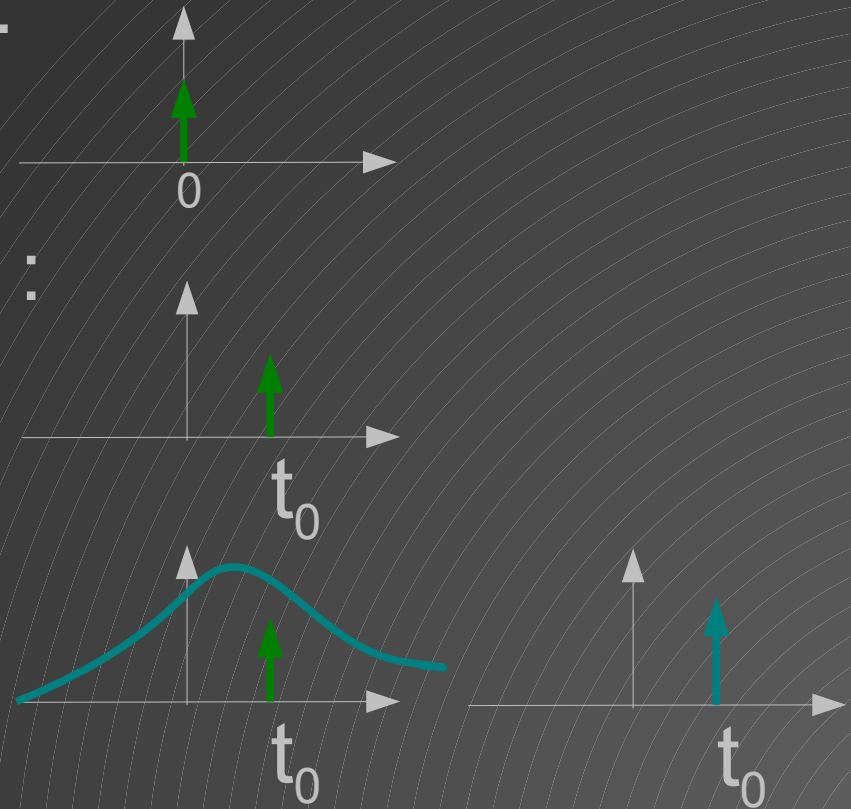
Signal

Séries et transformée de Fourier

- Propriétés :
 - Linéarité :
 - $K f(t) + g(t) \Leftrightarrow K F(t) + G(t)$ (K complexe)
 - Similitude : Une dilatation dans le domaine temporel correspond à une contraction dans le domaine fréquentiel
 - $f(at) \Leftrightarrow 1/|a| F(f/a)$ (a réel)
 - Dérivée :
 - $dx(t)/dt \Leftrightarrow 2i\pi f X(f)$
 - $dX(f)/df \Leftrightarrow -2i\pi t x(t)$

Filtrage : Transformée de Fourier

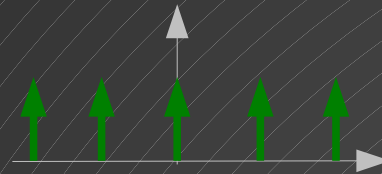
- Dans notre cas :
 - Signal borné et échantillonné
- Soit le pic de Dirac $\delta(t)$:
- Soit le pic de Dirac $\delta(t_0)$:
 - $\delta(t_0) = \delta(t-t_0)$
- $f(t) \delta(t_0) = f(t_0)$:



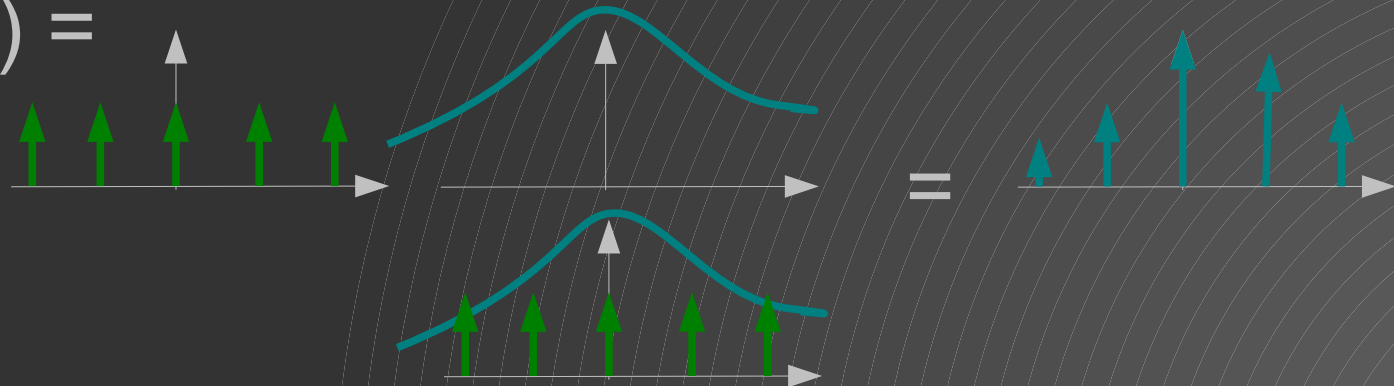
Filtrage : Transformée de Fourier

- Dans notre cas :
 - Signal borné et échantillonné
- Soit le peigne de Dirac $\mathbb{W}(t)$:

$$\sum_{n=-\infty}^{+\infty} \delta(t - nT)$$



- $f(t) \mathbb{W}(t_0) =$



Filtrage : Transformée de Fourier

- Dans notre cas :
 - Signal discret (échantillonné) + support borné
 - TFD

Filtrage : Transformée de Fourier

- TFD : (Signal discret (échantillonné) + support borné)

$$X(f) = \int_{-\infty}^{+\infty} x(t) e^{-2j\pi ft} dt$$

$$X(f) = \sum_{t=-\infty}^{+\infty} x(t) e^{-2j\pi ft}$$

$$X(l) = \sum_{k=0}^{N-1} x(kT_e) e^{-2j\pi lf_e kT_e}$$

$$X(l) = \sum_{k=0}^{N-1} x(k) e^{\frac{-2j\pi kl}{N}} \quad x(k) = \frac{1}{N} \sum_{l=0}^{N-1} X(l) e^{\frac{2j\pi lk}{N}}$$

Filtrage : Transformée de Fourier

- TFD : (Signal discret (échantillonné) + support borné)

$$X(l) = \sum_{k=0}^{N-1} x(k) e^{-\frac{2j\pi kl}{N}} \quad x(k) = \frac{1}{N} \sum_{l=0}^{N-1} X(l) e^{\frac{2j\pi lk}{N}}$$

- Notes : (F_e Fréquence d'échantillonnage)
 - $X(0) \rightarrow -2F_e$ ($/ 0$)
 - $X(N-1) \rightarrow +2F_e$ ($/ +4F_e$)
 - Pas en fréquence : F_e/N

Filtrage : Transformée de Fourier

- Calcul rapide de la TFD
 - FFT (1965 – Cooley et Tukey)

$$X(l) = \sum_{k=0}^{N-1} x(k) e^{\frac{-2j\pi kl}{N}}$$

$$X(l) = \sum_{k=0}^{N/2-1} x(2k) e^{\frac{-2j\pi 2kl}{N}} + \sum_{k=0}^{N/2-1} x(2k+1) e^{\frac{-2j\pi 2(k+1)l}{N}}$$

$$X(l) = \sum_{k=0}^{N/2-1} x(2k) e^{\frac{-2j\pi 2kl}{N}} + e^{\frac{-2j\pi l}{N}} \sum_{k=0}^{N/2-1} x(2k+1) e^{\frac{-2j\pi 2kl}{N}}$$

Filtrage : Transformée de Fourier

- FFT :

- $$X(l) = \sum_{k=0}^{N/2-1} x(2k) e^{\frac{-2j\pi 2kl}{N}} + e^{\frac{-2j\pi l}{N}} \sum_{k=0}^{N/2-1} x(2k+1) e^{\frac{-2j\pi 2kl}{N}}$$

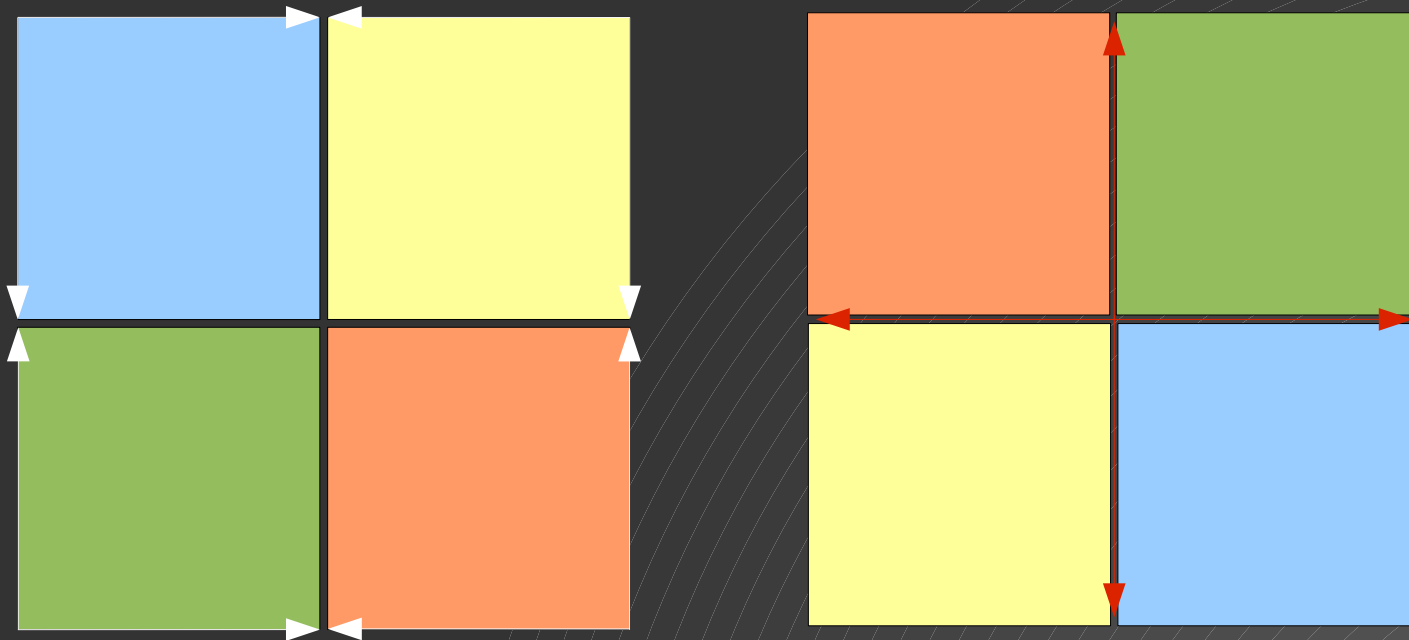
- Pour calculer la TFD sur un signal de taille N, on calcul la transformée de Fourier sur les coefficients pairs (N/2) et la transformée de Fourier sur les coefficients impairs (N/2) ... et récursivement

Filtrage : Transformée de Fourier

- Dans notre cas (image)
 - Signal 2D : TF2D

Filtrage : Transformée de Fourier

- Visualisation du spectre :



- On interverti les cadrants. Les basses fréquences se retrouvent au centre

Filtrage : Transformée de Fourier

- Visualisation du spectre :

